



ارزیابی آزمایشگاهی رفتار اتصالات گیردار جوشی تیر

به ستون در سازه‌های متداول

محمد سهیل قبادی^۱، علی مژروعی^۲ و مهدی قاسمیه^۳

چکیده

اهمیت زیاد اتصالات گیردار جوشی در قابهای خمی، سبب توجه محققین به جزئیات جوشکاری شده است. در این مقاله ۳۲ نمونه راهنما که بیانگر مدل ساده شده اتصال گیردار هستند آزمایش شده است. در این تحقیق آزمایشگاهی جهت ارزیابی مقاومت اتصالات، مقاومت جوش نفوذ کامل اجرا شده به روشهای مختلف، مقاومت عمود بر صفحه جوش گوشه دو طرفه، مقاومت عمود بر صفحه جوش گوشه یک طرفه، تاثیر میزان شدت جریان (آمپر) بر کیفیت جوش مطالعه گردیده است. همچنین جهت مقاوم سازی اتصالات، تاثیر سخت کننده لچکی، تاثیر سخت کننده تی شکل، تاثیر چقرمگی الکترود در کیفیت جوش ایجاد شده و تاثیر سنگزندی و جوشکاری مجدد مطالعه گردیده است. بیشترین مقاومت از آزمایش جوش نفوذ کامل با ورق پشت بند مشاهده شده است. مقاومت عمود بر صفحه جوش گوشه یک طرفه و دو طرفه بررسی گردیده است. میزان افزایش مقاومت اتصال توسط سخت کننده ها ارائه گشته است. در مورد چقرمگی الکترود، جوشکاری مجدد و شدت جریان (آمپر) توصیه اجرائی ارائه شده است.

کلمات کلیدی:

اتصال گیردار جوشی، جوش گوشه یک طرفه، جوش گوشه دو طرفه، جوش نفوذ کامل، الکترود، چقرمگی، سخت کننده

Experimental Investigation of Welded Beam to Column Moment Connection in Existing Structures

Mohammad Soheil Ghobadi, Ali Mazroi, Mehdi Ghasemiye

ABSTRACT

The importance of welded connections on the behavior of steel moment resisting frames was the reason of researchers focus on welding details. In this paper result on 32 pilot tests indicate moment connection behavior are presented. In this experimental research, in order to connection strength evaluation, complete joint penetration (cjp) weld strength with different welding procedure, double side fillet weld out of plane strength, one side fillet weld out of plane strength and amperage intensity effect on welding quality, have been studied. Also in order to connection rehabilitation, rib stiffener effect on connection strength, T-stiffener effect on connection strength, electrode toughness effect on welding quality and grinding and rewelding effect on welding quality have been studied. Maximum strength of cjp weld is observed in welding with backing. Out of plane strength of double side and on side fillet weld have been determined. Connection strength increase amount with stiffener strengthening of connection have been proposed. It has also been proposed constructional recommendations about electrode toughness, rewelding and amperage intensity.

Key words:

Welded Moment Connection, Double Side fillet Weld, One Side Fillet Weld, Complete Joint Penetration Weld, Electrode, Toughness, Stiffener

۱. دکتری عمران، پردیس دانشکده‌های فنی، دانشکده مهندسی عمران، دانشگاه تهران msghobad@yahoo.com
۲. استادیار دانشکده فنی دانشگاه آزاد اسلامی و مدیر بخش سازه، مرکز تحقیقات ساختمان و مسکن amazroi@yahoo.com
۳. استادیار دانشکده مهندسی عمران، پردیس دانشکده‌های فنی، دانشگاه تهران mghassem@ut.ac.ir

۱- مقدمه

این نوع اتصالات برای اجرا، در اغلب کارگاهها قابل استفاده می باشد. براساس آین نامه اتصالات فولادی [۲] ورق بالاسری و زیرسری باید با جوش شیاری نفوذ کامل به ستون متصل شوند، ولی در بعضی از کارگاهها ورق زیرسری روی زمین توسط جوش گوشه دو طرفه و ورق بالاسری هنگام نصب توسط جوش گوشه یک طرفه به ستون متصل می شوند. با توجه به اینکه این جوشها عضو حساس باربری اتصال در هنگام زلزله هستند، بررسی رفتار و مقاومت آنها در سازه های موجود الزاماً است. تکیه بر مقاومت عمود بر صفحه جوش گوشه در آین نامه جوشکاری ایران [۳] مجاز نیست و مشخص نشده است و مهندسین برای ارزیابی مقاومت اتصالات در سازه های موجود مرجعی ندارند. برای مقاوم سازی این اتصالات معمولاً از سخت کننده های مثلثی شکل (لچکی) روی ورق بالاسری، یا سخت کننده های تی شکل در کنار اتصال و بهبود کیفیت جوش استفاده می شود [۴ و ۵]. با توجه به عدم کیفیت مناسب بسیاری از این گونه اتصالات در این مقاله سعی می شود مقاومت جوش های مختلف با جوش درزهای گوناگون و روشهای مقاوم سازی اتصالات گیردار رایج مورد مطالعه قرار گیرد. پس از بررسی های انجام شده، جهت مرتفع نمودن ضعف های اتصالات گیردار رایج، دستورالعمل اجرایی برای آن ارائه می شود.

۱-۱- مرور بر ادبیات فنی

Stratan و Dubina [۶] نمونه اتصال تی شکل (T) جهت بررسی رفتار آزمایشگاهی ساختند. در این نمونه ها، قسمتی از بال کششی تیر و بال ستون در نظر گرفته شده بود و در حقیقت قسمتی از اتصال گیردار مدل سازی شده بود. پارامترهای مورد مطالعه در این تحقیق عبارتند از: نوع جوش (گوشه، نیم جناغی یک طرفه، نیم جناغی دوطرفه)، نوع فولاد، نرخ کرنش (S^{-1})، $0.035, 0.06, 0.0001 = \text{غ}$) و نوع بارگذاری (یکنواخت و چرخه ای). از این مطالعه، آنها نتیجه گیری کردند، کیفیت جوشکاری مهمترین پارامتر در اتصالات

قابلی خمی اغلب در ساختمانهای کوتاه مرتبه و میان مرتبه استفاده می گردند. این سیستم ها به تنها ی و یا به صورت ترکیب با سیستم دیگر وظیفه باربری جانبی را بعده دارند. بعد از گسیختگی تعداد زیادی از اتصالات گیردار در زلزله نورتریج ۱۹۹۴ آمریکا تحقیقات گسترده ای بر روی رفتار نامناسب اتصالات انجام گشت و علت رفتار نامناسب و نحوه مقاوم سازی آن ارائه گردید [۱]. بر اساس این تحقیقات علت کلی شکست در اتصالات جوشی عبارتند از:

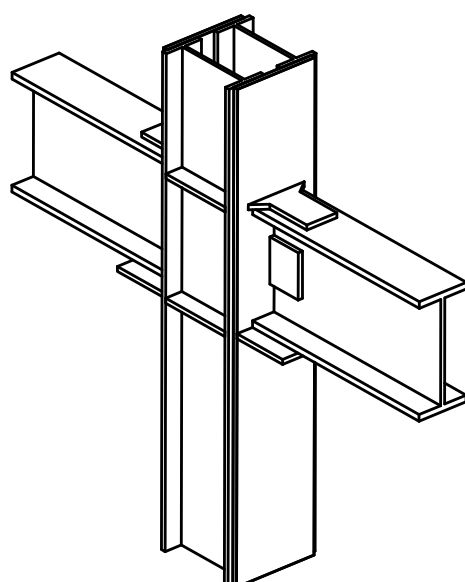
الف - عیهای بوجود آمده در جوش به علت عدم جوشکاری مناسب (نفوذ ناقص فلز جوش، وجود ترک در ریشه جوش)

ب - جزئیات نامناسب اتصالات (ایجاد تمرکز تنش در ریشه جوش)

ج - الکترود نامناسب (الکترود با چقرمگی کم)

د - وارد شدن انرژی لرزه ای بیش از حد انتظار به سازه (زلزله های میدان نزدیک)

اصالات گیردار اجرا شده در ایران توسط ورق تقویتی بالاسری و زیرسری انجام می گردد و تیر مستقیماً به ستون متصل نمی گردد. این ورقها توسط جوش نفوذ کامل به بال ستون متصل می شود (شکل ۱).



شکل (۱): نمای سه بعدی اتصالات رایج در ایران

باعث بهبود چشمگیر رفتار هیسترزیس اتصال می‌گردد و مانع از ترک خوردگی ترد جوش اتصال می‌شود. مزروعی و همکاران [۸] هفت نمونه اتصال گیردار با استفاده از ستونهای مرکب دوبل I شکل آزمایش کردند. در این نمونه مقطع تیرها دوبل IPE و ستونها دوبل فاصله‌دار (پاباز) تقویت شده با ورق سراسری بوده است. نمونه‌های آزمایش شده به شکل صلیب و دارای مقیاس واقعی بوده‌اند. در این آزمایشها بارگذاری یکنواخت انجام شده است. بار در انتهای ستون وارد شده و تکیه‌گاهها در انتهای تیرها قرار گرفته بودند. جوشکاری نمونه‌ها با الکترودهای معمولی و شرایط متعارف کارگاهی انجام گشته بود. این مطالعات اثر ورق پیوستگی، جوش کام ورق پوشش ستون به بال نیمرخهای IPE و اثر ورق سخت‌کننده مثلثی شکل جهت تقویت اتصال بررسی شده است. آنها نتیجه گیری کردند، درصد گیرداری اتصال معمولی ۵۵٪ (نیمه‌گیردار) می‌باشد و در صورت اتصال ورق پوشش سراسری به نیمرخهای IPE توسط جوش کام و استفاده از ورق پیوستگی در محاذات بال تیر، اتصال به گیرداری کامل می‌رسد.

۲- برنامه آزمایش

برای اینکه بتوان اکثر مشکلاتی که در هنگام اجرای اتصالات گیردار رایج پیش می‌آید بررسی شود، می‌بایست تعداد نمونه‌ها به اندازه کافی باشد. بدین منظور ۳۲ آزمایش راهنمای، که نمایانگر رفتار اتصالات تمام مقیاس در بال کششی تیر است طراحی گردید. در این نمونه‌ها (شکل ۲) ورق سمت راست به عنوان بال کششی تیر، ورق عمودی مدل بال ستون و ورق سمت چپ به عنوان مدل ورق پیوستگی تلقی می‌گردد. در نمونه‌های مختلف روش جوشکاری ورق‌های سمت چپ و راست تفاوت نموده، لیکن هندسه کلی نمونه‌ها مطابق شکل مذکور می‌باشد. با مشاهده رفتار این نمونه‌ها می‌توان رفتار انواع جوشها را به طور دقیق بررسی کرد. سطح نمونه‌ها با آهک پوشانده شده تا جاری شدن نقاط مختلف در حین

جوشی می‌باشد. بهترین رفتار در جوش درز نیم جناغی دوطرفه ملاحظه گردید. گسیختگی در جوش نیم جناغی یکطرفه همیشه با شروع ترک از ریشه جوش آغاز می‌شود و این حالت نامطلوب در گسیختگی محسوب می‌شود. افزایش نرخ کرنش باعث افزایش تنش تسلیم و تنش نهایی فولاد می‌شود ولی شکل پذیری را کاهش می‌دهد. مشکل جوش گوشه خارج از اندازه بودن بعضی نقاط آن در طول خط جوش است، که کترل آن نیز مشکل می‌باشد و گسیختگی از همان نقاط آغاز می‌گردد. بارگذاری چرخه‌ای احتمال شکست جوش را افزایش می‌دهد. در این مطالعات جوشهای گوش به علت خارج از اندازه بودن و جوشهای نفوذی به علت نفوذ ناقص ریشه رفتار ضعیفتری را در بارگذاری چرخه‌ای نسبت به بارگذاری یکنواخت داشتند.

Cheng- chih et al. [۷] شش آزمایش تمام مقیاس روی اتصالات گیردار مستقیم تیر به ستون جعبه‌ای انجام دادند. آنها معتقدند که رفتار ستونهای جعبه‌ای با ستونهای H شکل تفاوت عمده‌ای دارد. به همین خاطر ابتدا یک نمونه اتصال بدون تقویت ساختند و این موضوع را اثبات کردند. سپس با روش‌های عددی نقاط ضعف اتصال را تشخیص داده و طرح تقویت برای آن ارائه داده اند و پنج نمونه بعدی را آزمایش کردند. برای تقویت از سخت‌کننده‌های تی شکل در کنار بال تیر استفاده شده بود. نمونه‌ها T شکل بودند و بارگذاری چرخه‌ای انجام شده بود. پارمترهای مورد مطالعه در این تحقیق نوع پشت بند در جوش نفوذ کامل (سرامیک، فولاد، فولادی همراه جوش گوشه) و اندازه سخت‌کننده تقویت کننده اتصال (تغییر در طول و ضخامت و ارتفاع سخت‌کننده) بوده است. آنها از این آزمایشها نتیجه گیری کردند که، در اتصالات گیردار با ستون جعبه‌ای، تمرکز تنش در لبه‌های جوش نفوذ کامل بوجود می‌آید ولی در ستون H شکل در وسط جوش بوجود می‌آید. گسیختگی این اتصالات در قسمت جوشهای نفوذ کامل لبه‌ها و محل سوراخ دسترسی جوش اتفاق می‌افتد. قرار دادن سخت‌کننده

نديده باشد. فولاد مورد استفاده از نوع ST37-2 بوده و براساس آزمایش کوپان، تنش تسليم آن 323 MPa و تنش نهايی آن 464 MPa بوده است. برای بریدن ورقها از برش پلاسمما استفاده شده تا اثر حرارت باعث ترد شدن لبه ورقها نگردد. قرار گرفتن قطعات تقويت تی شکل و مثلثي (چکي) هندسه نمونه هاي سري S4 و S5 را كمی متفاوت از شكل (۱) نموده (شکل ۳). اين قطعات برای انتقال تمام نيروي كشش طراحى گشته اند و اضلاع آنها بر حسب طول جوش مورد نياز و يا طول ورق مورد نياز بدست آمدند [۹].



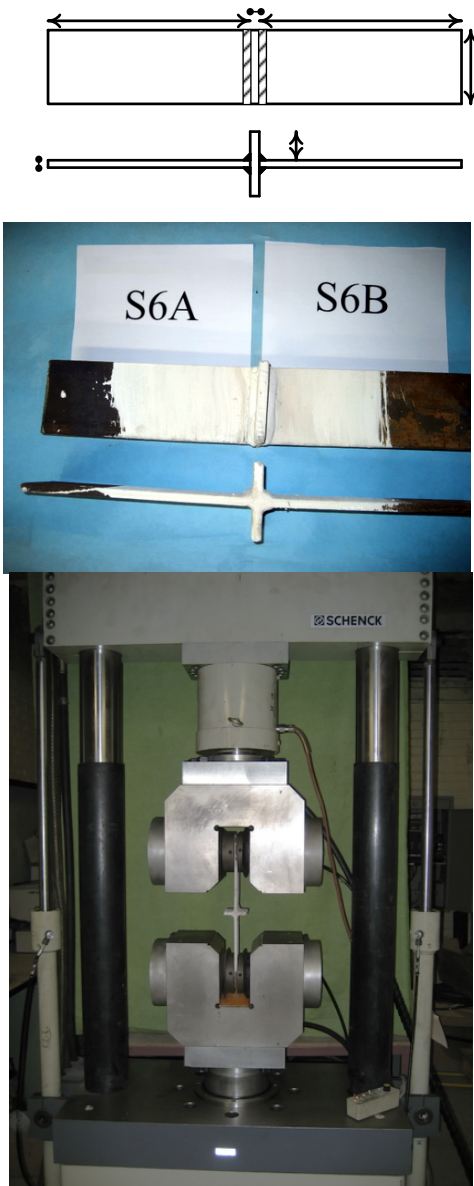
شکل (۳): نمای نمونه های سری S4 و S5

۲-۲- جزئيات ساخت نمونه ها و جوشکاری آنها

در ساختن نمونه ها سعی شده است از الکترودهای قطر ۴ استفاده گردد که در کارگاه ها رایج است. ماشین جوشکاری رکتیفایر بوده است. روش جوشکاری، قوسی دستی با الکترود روکش دار^۱ می باشد. تمام جوشکاری ها

1. Shielded Metal Arc Welding

آزمایش مشخص شود. اين نمونه ها داخل فک های دستگاه آزمایش كششی قرار می گيرند. نيرو از نوع كششی است و با سرعت کم و يکنواخت استاتيكي اعمال می شود.



شکل (۲): نمای کلی نمونه ها (اعداد بر حسب Cm) و نحوه انجام آزمایش

۱-۲- معرفی نمونه ها ، هدف از آزمایش آنها مطابق جدول (۱) نمونه ها و هدف از ساخته شدن آنها ذکر گردیده است. ورق های تهیه شده به صورت تسمه اصلی تهیه شده، تا لبه های آن توسط برشکاری آسیب

۲ ساعت داخل خشک کن با دمای ۳۵۰ درجه سانتیگراد قرار گرفته اند، تا رطوبت خود را از دست دهند [۳]. در تمام آزمایشها میزان شدت جریان (آمپر) ثبت شده [۹] تا بتوان در مورد آن نتیجه گیری نمود.

با جریان یکسو (الکترود قطب مثبت) صورت گرفته است. دو نوع الکترود برای جوشکاری انتخاب گردیده است. E6013 به عنوان الکترود معمولی و E7018 به عنوان الکترود کم هیدروژن و با چقرمگی بالا استفاده گردیده است. الکترودهای کم هیدروژن قبل از مصرف، به مدت

جدول (۱): نمونه ها و هدف از ساخته شدن آنها

نمونه	جوش		هدف آزمایش ، مشاهده:
	چپ	راست	
1,2	S1A ,S1B	CJP	DFW مقاومت جوش نفوذی کامل با الکترود معمولی
3,4	S1C, S1D	CJP	DFW مقاومت جوش نفوذی کامل با الکترود معمولی و ورق پشت بند
5,6	S1E, S1F	CJP	DFW مقاومت جوش نفوذی کامل با الکترود کم هیدروژن و ورق پشت بند
7,8	S1G, S1H	CJP	DFW سنگرنسی جوش گوشه و جوشکاری مجدد نفوذی کامل با الکترود معمولی و ورق پشت بند
9,10	S1I, S1J	CJP	DFW سنگرنسی جوش گوشه و جوشکاری مجدد نفوذی کامل با الکترود کم هیدروژن و ورق پشت بند
11,12,13	S2A, S2B, S2E	DFW	DFW مقاومت جوش گوشه دوطرفه با الکترود معمولی
14,15,16	S2C, S2D ,S2F	DFW	DFW مقاومت جوش گوشه دوطرفه با الکترود کم هیدروژن
17,18	S3A,S3B	CJP	SFW مقاومت جوش گوشه یک طرفه با الکترود معمولی
19,20,21,22	S4A, S4B, S4C, S4D	CJP	SFW+RIB Plate مقاومت جوش گوشه یک طرفه با الکترود معمولی و تقویت شده با ورق سخت‌کننده مثلثی (RIB Plate)
23,24	S5A, S5B	T-Stiffener	T-Stiffener مقاومت قطعه تقویت سخت‌کننده تی شکل با الکترود معمولی
25,26	S5C, S5D	T-Stiffener	T-Stiffener مقاومت قطعه تقویت سخت‌کننده تی شکل با الکترود کم هیدروژن
27,28	S6A,S6B	DFW	SFW مقاومت جوش گوشه یک طرفه با الکترود کم هیدروژن
29,30	S6C, S6D	DFW	SFW مقاومت جوش گوشه یک طرفه (بعد جوش حداقل) با الکترود معمولی
31,32	S6E, S6F	DFW	SFW مقاومت جوش گوشه یک طرفه (بعد جوش حداقل) با الکترود کم هیدروژن
(جوش شیاری نفوذ کامل) CJP = Complete Joint Penetration Weld			
(جوش گوشه دوطرفه) DFW = Double Fillet Weld			
(جوش گوشه یک طرفه) SFW = Single Fillet Weld			

صفحه جوش گوشه یک طرفه و دو طرفه در شکل (۴) نشان داده شده است.

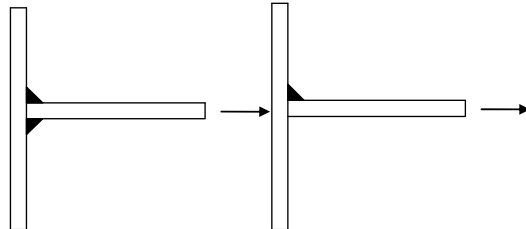
پنج زدن نمونه ها برای ایجاد شیار جوش نفوذ کامل، با دستگاه فرز انجام گشته است. منظور از مقاومت عمود بر

$$F_W = 0.6 F_{EXX} (1 + 0.5 \sin^{1.5} \theta) \quad (1)$$

F_{EXX} : تنش کششی نهایی الکترود
 θ : زاویه بار واردہ نسبت به طول خط جوش
 با در نظر گرفتن ضریب اطمینان ۲ و حذف ضریب زاویه بارگذاری، به میزان مقاومت آیین نامه جوش ایران [۳] می‌رسیم. آیین نامه جوش آمریکا مقاومت عمود بر صفحه جوش گوشه را $1/5$ برابر مقاومت برشی آن می‌داند، ولی این مقاومت به شرطی در نظر گرفته می‌شود که چند خط جوش زاویه‌دار با هم به کار رفته باشند. به عبارت دیگر برای یک خط جوش گوشه مقاومت عمود بر صفحه مجاز نمی‌داند و علت این مسئله را ظرفیت اعوجاج کم یک خط جوش گوشه تنها می‌داند. البته معادله (۱) به عنوان معیار مقاومت جوش گوشه در سازه‌های موجود می‌تواند استفاده گردد. براساس مطالب مذکور مقاومت واقعی ورق و جوش‌های مختلف محاسبه گشته و در جدول (۲) ارائه گشته است.

۳- مشاهده رفتار نمونه‌ها و نتایج آزمایشها

برای بررسی و مشاهده نتایج آزمایشها در ابتدا نیاز به مشخص شدن مقاومت ورق، مقاومت جوش نفوذی کامل، مقاومت جوش گوشه یک طرفه و مقاومت جوش گوشه دوطرفه می‌باشد.



شکل (۴): مقاومت عمود بر صفحه جوش گوشه یک طرفه (راست) و دوطرفه (چپ)

برای محاسبه میزان نیرو، مقاومتهای واقعی ورق و جوش در نظر گرفته می‌شود. میزان مقاومت ورق و جوش نفوذ کامل از حاصل ضرب سطح مقطع ورق در تنش تسیلیم و نهایی مربوطه بدست می‌آید. مقاومت جوش گوشه براساس آیین نامه فولاد و جوش آمریکا [۱۰ و ۱۱] بدون ضریب اطمینان برابر است با:

جدول (۲): مقاومت ورق، جوش گوشه دوطرفه و جوش گوشه یک طرفه در حالت تسیلیم و نهایی

Load(KN)	Plate	CJP Weld		Double Fillet Weld (D=7mm)		Single Fillet Weld (D=7mm)		Single Fillet Weld (D=5mm)	
		E6013	E7018	E6013	E7018	E6013	E7018	E6013	E7018
Strength	Yielding	207	230	269	256	299	128	149	92
	Ultimate	297	<288	<320	<320	<356	<160	<178	<114

۱-۳- نمونه‌های سری S1

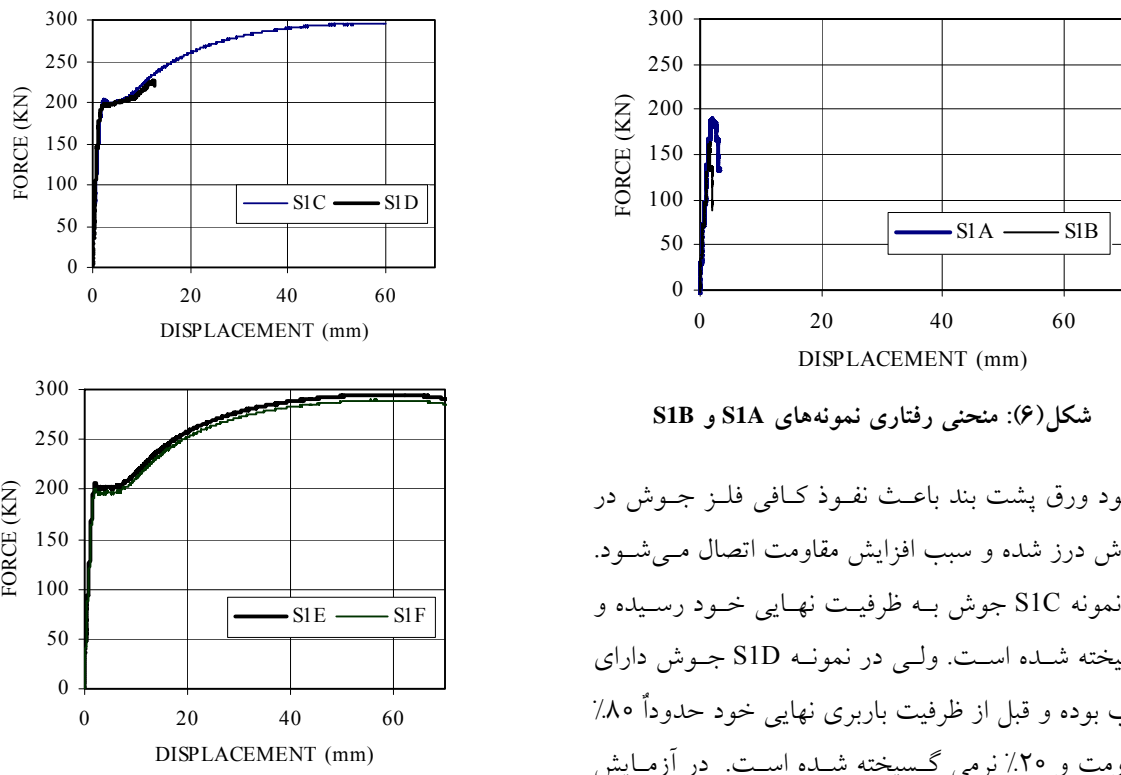
هنگام آزمایش، هر دو نمونه S1A و S1B قبل از جاری شدن ورق در بارهای ارتقایی از محل جوش نفوذ کامل گسیخته شدند. عدم نفوذ فلز جوش در جوش درز هنگام گسیختگی مشهود می‌باشد (شکل ۵).

ظرفیت باربری جوش نفوذ کامل E6013 برابر 288KN می‌باشد ولی نمونه‌ها در 160~180KN گسیخته شدند (شکل ۶).

در آزمایش نمونه‌های S1C و S1D ورق به صورت گسترده جاری گردید و وارد مرحله سخت شدگی شد. با افزایش مقاومت ورق، جوشها در 295KN و 225KN



شکل (۵): نفوذ ناقص در جوش نفوذ کامل بدون پشت‌بند



شکل(۶): منحنی رفتاری نمونه‌های S1B و S1A



شکل(۷): منحنی رفتاری نمونه‌های S1F، S1E، S1D، S1C و
(بالا)، گسیختگی شکل پذیر S1E (پایین)

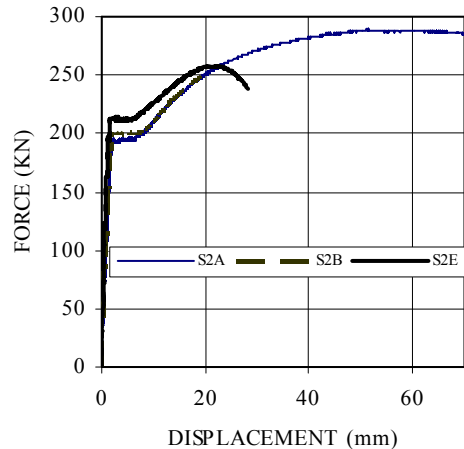
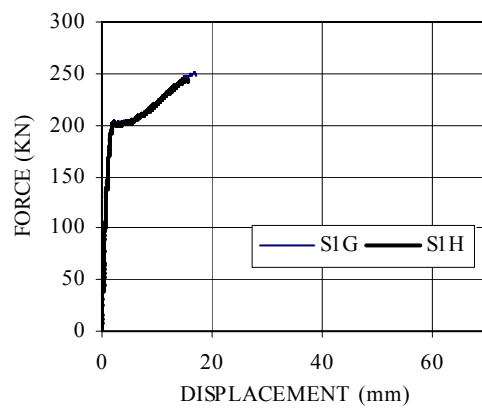
ساختر فولاد حرارت دیده به شکل درشت دانه می‌باشد و در هنگام سنگزنجی باید این قسمت برداشته شود (شکل ۹). با توجه به این شکل می‌توان درک نمود که هر میزان حرارت جوشکاری کمتر باشد تغییر ساختار شکل پذیر فولاد کمتر می‌گردد. ساختار درشت دانه فولاد در دماهای ۱۱۰۰ درجه به بالا تشکیل می‌شود [۸]. بنابراین استفاده از دماهای بالا در هنگام جوشکاری سبب تغییر ساختار اساسی فولاد نرم می‌گشته و شکل پذیری سیستم سازه‌ای را تحت تاثیر جدی قرار می‌دهد.

وجود ورق پشت بند باعث نفوذ کافی فلز جوش در جوش درز شده و سبب افزایش مقاومت اتصال می‌شود. در نمونه S1C جوش به ظرفیت نهایی خود رسیده و گسیخته شده است. ولی در نمونه S1D جوش دارای عیب بوده و قبل از ظرفیت باربری نهایی خود حدوداً ۸۰٪ مقاومت و ۲۵٪ نرمی گسیخته شده است. در آزمایش نمونه‌های S1E و S1F ورق به طور گستردگی جاری شده و سپس به تنشهای نهایی خود رسیده و گسیختگی شکل پذیر داشته است (شکل ۷).

در دو نمونه آخر استفاده از الکترود کم هیدروژن رفتار مناسبی نشان داده است. در هر دو نمونه S1G و S1H جوش نفوذ کامل پس از جاری شدن گستردگی ورق در حدود 245KN گسیخته شد. گسیختگی در فلز جوش رخ داده است و حاکی از شکل پذیری کم و وجود ترکهای ریز در بدنه جوش می‌باشد. در نمونه‌های S1I و S1J ورق به صورت گستردگی پلاستیک شده و بعد از تغییر مکان‌های قابل توجه و شکل پذیری مناسب گسیختگی در ورق رخ داده است. یعنی هر دو نمونه از نظر جوش نقصی نداشته اند ولی در نمونه S1I به علت سنگ نزدن صحیح جوشکار، قسمت ترد جوش شده قبلی در ورق عمودی باقی مانده و سبب گسیختگی ترد گردیده است. هر دو نمونه بار حدود 295KN را تحمل کرده‌اند (شکل ۸). با توجه به رفتار این نمونه‌ها ایجاد جوش نفوذ کامل مجدد توسط الکترود کم هیدروژن روی محل جوش گوشه امکان پذیر است به شرطی که محل ترد شده سنگ زنی شده باشد.

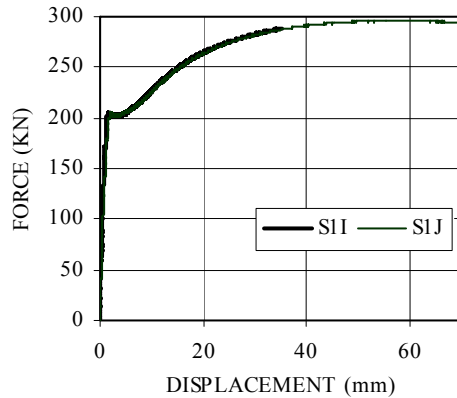


شکل(۹): ساختار درشت دانه فولاد حرارت دیده

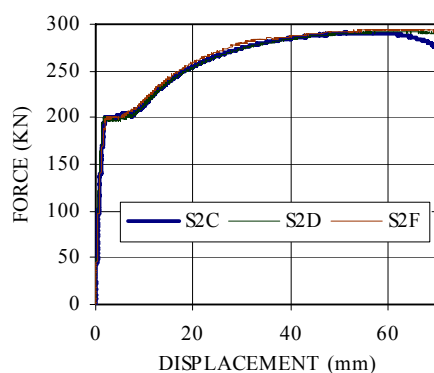


شکل(۱۰): منحنی رفتاری نمونه‌های S2A ، S2B و S2E

در آزمایش هر سه نمونه S2C و S2D و S2F ورق جاری شده و با شکل پذیری زیادی گسیخته گردید. استفاده از الکترود کم هیدروژن سبب رفتار مطمئن و مناسب در این آزمایشها می‌باشد (شکل ۱۱). الکترودهای کم هیدروژن تاب زیادی در باربری دارند و برای اتصال اعضاء یک سیستم شکل پذیر مناسب می‌باشند. کم بودن ترک‌های ریز در بدنه فلز جوش علت این چرمگی است.



شکل(۸): منحنی رفتاری نمونه‌های S1G ، S1H ، S1I و S1J



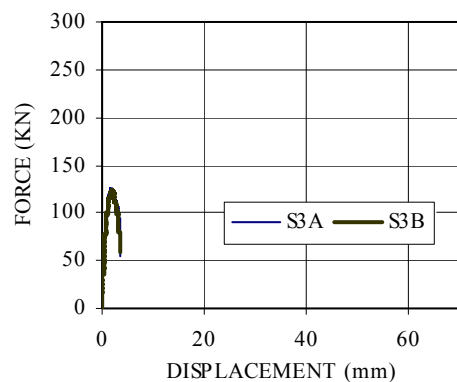
شکل(۱۱): منحنی رفتاری نمونه‌های S2C ، S2D و S2F

۲-۳- نمونه‌های سری S2

پس از انجام آزمایش نمونه‌های S2A و S2B و S2E رفتار شکل پذیر داشته و گسیختگی شکل پذیر ورق در آن اتفاق افتاده است. در دو نمونه دیگر ابتدا ورق جاری شده ولی به حد نهایی مقاومت خود نرسیده و جوش‌های گوشه دو طرفه در بار ۲۵۰KN ~ دچار گسیختگی گردیده‌اند (شکل ۱۰). کم بودن چرمگی الکترودهای معمولی و وجود ترک‌های ریز در بدنه فلز آنها سبب گسیختگی این جوشها در کشش می‌شود.

۳-۳- نمونه‌های سری S3

در نمونه‌های S3A و S3B هنگام آزمایش ابتدا ورق عمودی چرخیده و سپس جوش در بارهای ۱۲۳KN گسیخته شده است. بعد از چرخیدن ورق، مقاومت جوش گوشه یک طرفه همراه با شکل پذیری ناچیزی سریع به صفر می‌رسد (شکل ۱۲). گسیختگی سریع بدون شکل پذیری به علت ایجاد تمرکز تنش در ریشه جوش می‌باشد.



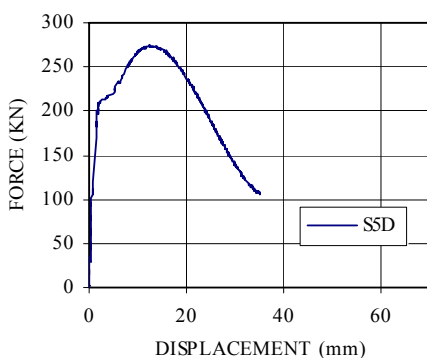
شکل(۱۲): اعوجاج ورق در جوش گوشه یک طرفه (بالا) و منحنی رفتاری آن (پایین)

۴-۳- نمونه‌های سری S5

در آزمایش نمونه‌های S5A و S5B رفتار مناسبی مشاهده نگردید و گسیختگی زود هنگام قبل از جاری شدن ورق در جوش نفوذ کامل افقی سخت‌کننده به ورق اتفاق افتاد (شکل ۱۴). در این نمونه‌ها سخت‌کننده‌های افقی تنها برای برش طراحی گردیده بودند و تمرکز تنش در ابتدای جوش نفوذ کامل افقی باربری قطعه را به ۱۴۰KN محدود کرد. همچنین الکترودهای با چقرومگی کم نیز مزید بر علت گسیختگی بودند.

۴-۴- نمونه‌های سری S4

در آزمایش نمونه‌های S4A و S4B قطعه تقویت کننده باعث افزایش مقاومت جوش گوشه یک طرفه گردیده است، ولی به حدی نبوده که به حد جاری شدن ورق برسد. به علت وجود نقص در جوش‌های نفوذی کامل در ابتدا آنها گسیخته شده‌اند. گسیختگی در بارهای حدود ۱۲۵KN اتفاق افتاده است. در نمونه‌های S4C و S4D نقص جوش‌های نفوذی کامل برطرف گردیده و گسیختگی



شکل(۱۵): حرکت خارج از صفحه قسمتهای از نمونه و شروع پارگی ورق در سمت راست(بالا)، منحنی رفتاری نمونه (پایین)

۳-۶- نمونه‌های سری S6

هر شش نمونه سری S6 برای محاسبه مقاومت عمود بر صفحه جوش گوشه طراحی شده اند و در تمام آنها قبل از جاری شدن ورق جوش گوشه یک طرفه گسیخته می‌شود. برای بدست آوردن داده‌های بیشتر و متنوع‌تر، بعد جوش ۵ و ۷ میلی متر، و دو الکترود E6013 و E7018 به کار برده شد. در مجموع در تمام نمونه‌ها ابتدا ورق عمودی چرخش کرده و جوش گوشه یک طرفه گسیخته گردیده است(شکل(۱۶)).



شکل(۱۶): مکانیزم گسیختگی جوش گوشه یک طرفه

با توجه به این که جوشکاری با جوش گوشه یک طرفه در ایران رواج زیادی دارد با بدست آوردن میزان مقاومت این نوع جوشها می‌توان به ارزیابی اتصالات موجود ایرانی پرداخته و در مقاوم سازی این سازه‌ها درصد اندکی مقاومت برای سازه موجود در نظر گرفت. نتایج باربری



شکل(۱۴): تمکز تنش در ابتدای جوش سخت‌کننده به ورق و گسیختگی در این نقطه

در نمونه‌های S5C و S5D سخت‌کننده افقی برای ترکیب قسمتهای صفحه‌ای طراحی گشته [۹] و برای جوشکاری از الکترودهای کم هیدروژن استفاده شده است. نمونه S5C به علت نقص در جوش نفوذ کامل عمودی دچار گسیختگی زودهنگام در بار 213 KN گردید و آزمایش متوقف گردید. این جوش در وضعیت عمودی انجام شده بود و کیفیت مناسبی نداشت. رفتار نمونه S5D در آزمایش مناسب بود. در این نمونه ابتدا جاری شدن به صورت گسترهای در ورق اتفاق افتاد و سپس قسمتهایی از نمونه حرکت خارج از صفحه کرده و پارگی در ورق شروع گشت. خارج شدن ورق از صفحه باربری به علت وجود نداشتن ورق عمودی مشابه جان نیمرخ (IPE) سبب زوال مقاومت گردیده است. در این مرحله آزمایش عملاً متوقف شده، زیرا ادامه آزمایش اطلاعات بیشتری را در بر نمی‌داشت (شکل(۱۵)). در این نمونه هیچ کدام از قطعات تقویت کننده دچار آسیب نشدند. در واقع بدون اتصال ورق مدل بال تیر، قطعات تقویتی تی شکل می‌توانند نیرو را منتقل کنند. این روش تقویت برای اتصالات گیردار در ستونهای جعبه‌ای مناسب و موثر است.



آمده از آزمایش نیز بر تنش نهایی الکترود و سطح مقطع نمونه تقسیم گشته تا ضریب باربری بدست آید (ستون ماقبل آخر). با توجه به این نتایج به علت اعوجاج و چرخش جوش، مقاومت کمتری نسبت به مقاومت تئوری آن بدست می آید.

این نمونه ها در جدول (۳) ارائه می گردد. همچنین نتایج نمونه های S3A و S3B نیز برای جمع بندی ارائه شده است. در این جدول ضریب مقاومت جوش گوشه یک طرفه بر اساس رابطه (۱) با اعمال زاویه $\theta = 90^\circ$ برابر ۰.۹ بدست می آید (ستون آخر). نیروهای بدست

جدول (۳): مقاومت جوش گوشه یک طرفه و ضریب باربری آن بر اساس آزمایشها

Number	Specimen	Electrode Type	Fillet Weld Size , D(mm)	Maximum Carried Load(KN)	Ratio of Strength	Nominal Ratio of Strength
1	S3A	E6013	7	125	0.701	0.9
2	S3B	E6013	7	123	0.690	0.9
3	S6C	E6013	5	96	0.754	0.9
4	S6D	E6013	5	106	0.832	0.9
5	S6A	E7018	7	154	0.778	0.9
6	S6B	E7018	7	165	0.834	0.9
7	S6E	E7018	5	123	0.870	0.9
8	S6F	E7018	5	120	0.848	0.9

جدول (۴): نتایج باربری نمونه ها در هنگام گسیختگی

نمونه	تغییر مکان(mm)	نیرو(KN)
1 S1A	2.85	189
2 S1B	2	161
3 S1C	60	295
4 S1D	12.5	225
5 S1E	72	295
6 S1F	72	289
7 SIG	17	249
8 S1H	15	243
9 S1I	35	289
10 S1J	75	297
11 S2A	70	288
12 S2B	19	247
13 S2C	71	290
14 S2D	78	292
15 S2E	28	258
16 S2F	85	294
17 S3A	3.4	125
18 S3B	3.3	123
19 S4A	2.2	126
20 S4B	2.2	123
21 S4C	2.7	171
22 S4D	3.2	183
23 S5A	3.5	149
24 S5B	4.4	136
25 S5C	2	213
26 S5D	35	273
27 S6A	4	154
28 S6B	4.1	165
29 S6C	1.6	96
30 S6D	2.1	106
31 S6E	3.6	123
32 S6F	3.5	120

لیکن این ضریب همیشه بیشتر از ۰.۶ بوده است و می توان بر این مقاومت تکیه نمود. با احتساب ضریب اطمینان ۲ در آین نامه های فولادی به مقاومت ۰.۳ تنش نهایی فلز جوش می رسمیم که در آین نامه جوش ایران [۳] نیز وجود دارد. در این حالت نیز عملکرد بهتر الکترودهای با چقرومگی بالا مشهود است.

۴- جمع بندی

جهت ارزیابی وضعیت موجود اتصالات گیردار جوشی متداول در ایران ۳۲ آزمایش بیانگر رفتار اتصال به صورت آزمایشگاهی مطالعه گردید. تاثیر باربری جوش های مختلف از نظر مقاومت و شکل پذیری و روش های مقاوم سازی توسط سخت کننده های مثلثی و تی شکل مشاهده گردید و نتایج آزمایشها در جدول (۴) ارائه گردیده است.

۵- نتیجه گیری و توصیه ها

نتایجی که از این تحقیق بدست آمده، عبارت است از: انتخاب الکترود مناسب برای نقاط بحرانی باربری مانند جوش اتصال تیر به ستون، از نوع الکترود کم هیدروژن و چقرمگی بالا توصیه می‌گردد. با توجه به این که تنفس سلیم واقعی فولاد اغلب بیشتر از 240 MPa می‌باشد الکترودهای رده E70 از این نظر هم برای جوشکاری مناسب‌تر هستند. بر اساس آیین نامه جوش[۳] در صورتی تنفس سلیم فولاد از 300 MPa بیشتر باشد الکترودهای رده E60 برای جوشکاری سازگار با فلز مادر نیست.

با در نظر گرفتن جوشکاری در کارگاه استفاده از ورق پشت بند در جوش شیاری نفوذ کامل ضروری است و بدون آن ایجاد جوش نفوذی تنها با سنگ زنی از پشت در اتصالات مقدور نیست.

در تمام آزمایشها مشخص گردید جوش گوشه دوطرفه دارای مقاومت مناسب در کشش است. هیچ کدام از نمونه‌های الکترودهای کم هیدروژن با این جوش دچار گسیختگی نشدند و الکترودهای معمولی نیز رفتار قابل قبول داشتند.

برای ارزیابی جوش گوشه یک طرفه در سازه‌های موجود می‌توان مقاومت حداقل آیین نامه جوش ایران را در نظر گرفت. اگر این نوع اتصال به کمک سخت‌کننده مثلثی تقویت گردد می‌توان از تمام ظرفیت جوش گوشه یک طرفه استفاده نمود.

سخت‌کننده‌های T شکل برای مقاوم سازی اتصالات گیردار با ستونهای جعبه‌ای در سازه‌های موجود مناسب هستند و سبب بهبود رفتار اتصال می‌گردند.

جوشکاری مجدد عمل نامطلوبی می‌باشد و به طور قطع سنگزنانی و جوش مجدد باعث تردشگی فولاد می‌گردد. البته در مورد اصلاح جوش گوشه نیاز به سنگ زدن آن نکته‌ای وجود دارد. بعد از سنگ زدن جوش گوشه نیاز به جوش، قسمت ترد شده ورق بالاسری را حذف می‌کند و

۶- تشکر و قدردانی

بدین وسیله از همکاری صمیمانه پرسنل آزمایشگاه سازه در مرکز تحقیقات ساختمان و مسکن تقدیر و تشکر می‌گردد.



مراجع

- 1- FEMA 2000, recommended seismic design criteria for new steel moment-frame buildings. Report No. FEMA-350, Federal Emergency Management Agency.
- 2- آیین نامه اتصالات در سازه های فولادی، سازمان مدیریت و برنامه ریزی کشور، نشریه شماره ۲۶۴، ۱۳۸۴.
- 3- آیین نامه جوشکاری ساختمانی ایران. سازمان مدیریت و برنامه ریزی کشور، نشریه شماره ۲۲۸، ۱۳۸۰.
- 4- FEMA. *State of the Art Report on Connection Performance*, FEMA-355D, prepared by the SAC Joint Venture for the Federal Emergency Management Agency, Washington, DC, 2000.
- 5- FEMA. *State of the Art Report on Welding and Inspection*, FEMA-355B ,prepared by the SAC Joint Venture for the Federal Emergency Management Agency, Washington, DC, 2000.
- 6-D.Dubina, A.Stratan .Behaviour of welded connections of moment resisting frames beam-to-column joints. *Engineering Structures* 24 , 1431–1440, 2000.
- 7- Cheng- chih , chon- chou lin , chia- liang tsai. *Evaluation of reinforced connections between steel beams and box columns*. *Engineering Structures* 26 ,1889–1904 , 2004.
- 8- مزروعی، علی ؛ سیمونیان، واهک ؛ نیکخواه عشقی ، مجید. «بررسی تجربی درصد گیرداری اتصالات صلب جوشی متداول در ایران» گزارش تحقیقاتی شماره گ- ۳۰۵، مرکز تحقیقات ساختمان و مسکن، ۱۳۷۸.
- 9- مزروعی، علی ؛ قاسمیه، مهدی و قبادی ، محمد سهیل. «بررسی رفتار چرخه ای اتصالات صلب تقویت شده با ورق و ارائه دستورالعمل مقاوم سازی این اتصالات» گزارش تحقیقاتی، مرکز تحقیقات ساختمان و مسکن، ۱۳۸۵.
- 10- AISC, AISC/ANSI 360-05. *Specification for Structural Steel Buildings*, American Institute of Steel Construction, Inc., Chicago, IL, 2005.
- 11- AWS D1.1/D1.1M. *Structural Welding Code – Steel*, American Welding Society, 2002.